

246798

ห้องสมุดงานวิจัย สำนักงานคณะกรรมการการอุดมศึกษา



246798

รายงานการวิจัย

เครื่องอบแห้งชนิดควบคุมคุณภาพอาหารด้วยเทคนิคการวัดการแผ่รังสีอินฟราเรด

**DRYER FOR FOOD QUALITY CONTROL BY
MEASURING OF IR RADIATION**

ผศ.ดร.นวภัตรา หนูนาค

รศ.ดร.ทวีพล ชื่อสัตย์

สาขาวิชาศวกรรมอาหาร และ สาขาวิชาศวกรรณการวัดและควบคุม

ได้รับทุนสนับสนุนงานวิจัยจากเงินรายได้ประจำปีงบประมาณ 2554

คณะศวกรรมศาสตร์

สถาบันเทคโนโลยีพระจอมเกล้าเจ้าคุณทหารลาดกระบัง

600251915

ห้องสมุดงานวิจัย สำนักงานคณะกรรมการวิจัยแห่งชาติ



246798

รายงานการวิจัย

เครื่องอบแห้งชนิดควบคุมคุณภาพอาหารด้วยเทคนิคการวัดการแผ่รังสีอินฟราเรด

**DRYER FOR FOOD QUALITY CONTROL BY
MEASURING OF IR RADIATION**

ผศ.ดร.นวัตถรา หนูนาค

รศ.ดร.ทวีพล ชื่อสัตย์

สาขาวิชาวิศวกรรมอาหาร และ สาขาวิชาวิศวกรรมการวัดและควบคุม



ได้รับทุนสนับสนุนงานวิจัยจากเงินรายได้ประจำปีงบประมาณ 2554

คณะวิศวกรรมศาสตร์

สถาบันเทคโนโลยีพระจอมเกล้าเจ้าคุณทหารลาดกระบัง

กิตติกรรมประกาศ

โครงการวิจัยนี้ได้รับทุนอุดหนุนจาก เงินรายได้คณวิศวกรรมศาสตร์ สถาบันเทคโนโลยีพระจอมเกล้าเจ้าคุณทหารลาดกระบัง ประจำปี 2554

- ขอขอบคุณ
- คณวิศวกรรมศาสตร์ สจล.
 - บุคลากรประจำสาขาบริษัทวิศวกรรมอาหาร คณวิศวกรรมศาสตร์ สจล.
 - นางสาวดาวสวัสดิ์ เคลือวัดย และ นางสาวทัยกัทร วงศ์ไทยวรรณ
นักศึกษาประจำสาขาบริษัทวิศวกรรมอาหาร คณวิศวกรรมศาสตร์ สจล.
 - นายภูวนาน พรนิภาอิ่มไพร นายนรุ่งโรจน์ จันทร์ผล และนายอิศรา อ่าดា
นักศึกษาประจำสาขาบริษัทวิศวกรรมการวัดและควบคุม คณวิศวกรรมศาสตร์ สจล.

นวกัทร หนุนาค

โครงการวิจัย เครื่องอบแห้งชนิดควบคุมคุณภาพอาหารด้วยเทคนิคการวัดการแผ่รังสีอินฟราเรด
DRYER FOR FOOD QUALITY CONTROL BY MEASURING OF IR RADIATION

ได้รับทุนอุดหนุนการวิจัยจากเงินรายได้คณะวิศวกรรมศาสตร์ สถาบันเทคโนโลยีพระจอมเกล้าเจ้าคุณ-

ทหารลาดกระบัง

ประจำปีงบประมาณ 2554

จำนวนเงินที่ได้รับการสนับสนุน 64,900 บาท

ระยะเวลาทำการวิจัย 1 ปี

ตั้งแต่ 1 ตุลาคม 2553 ถึง 30 กันยายน 2554

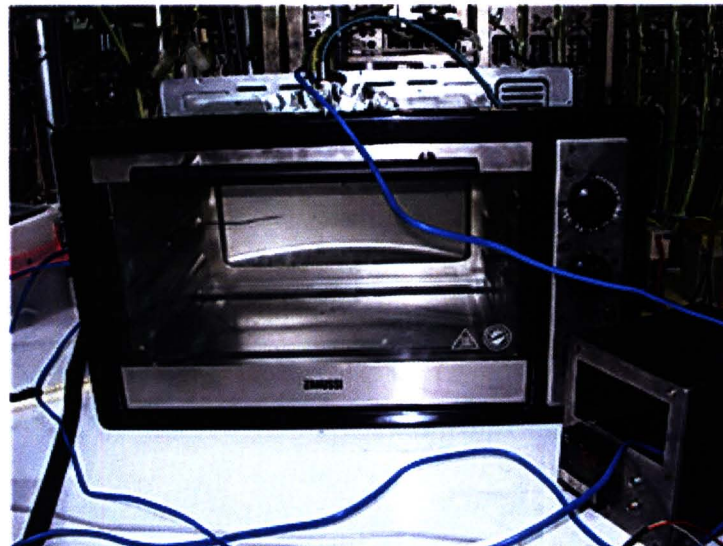
รายนามคณะผู้วิจัย

- | | | |
|----|--------------|--|
| 1) | ชื่อ-นามสกุล | ผศ.ดร.นวภัทร หมูนาค |
| | หน่วยงาน | สาขาวิศวกรรมอาหาร คณะวิศวกรรมศาสตร์ |
| | โทรศัพท์ | 02-329-8356-7 ต่อ 17 โทรสาร 02-329-8358 ต่อ 13 |
| | Email | kbnavaph@kmitl.ac.th |
| 2) | ชื่อ-นามสกุล | รศ.ดร.ทวีพล ชื่อสัตย์ |
| | หน่วยงาน | สาขาวิศวกรรมการวัดคุณ คณะวิศวกรรมศาสตร์ |
| | โทรศัพท์ | 02-739-2407 ต่อ 109 โทรสาร 02-739-2406 |
| | Email | kstawee@kmitl.ac.th |

กำลังดำเนินการแผ่รังสีอินฟราเรด กล้องถ่ายภาพความร้อน กระบวนการอบขนมปัง

Keywords: Infrared Emission, Thermal Imager, Bread Baking Process

รูปภาพผลงานวิจัย



รูปที่ 1 ตู้อบที่ติดตั้งเซนเซอร์ชนิดอินฟราเรด (IR sensor) ไว้ที่บริเวณด้านบน
เพื่อตรวจวัดอุณหภูมิที่ผิวของวัตถุ



รูปที่ 2 การอบขนมปังด้วยตู้อบควบคุมอุณหภูมิที่ผิวอาศัยหลักการการแพร่รังสีอินฟราเรดของวัตถุ

งานวิจัยนี้มีวัตถุประสงค์เพื่อนำเสนอการประยุกต์ใช้สมบัติการแผ่รังสีอินฟราเรดของวัตถุ (Emissivity, ϵ) ในกระบวนการแปรรูปอาหาร วิธีการวัดค่า ϵ ของวัตถุทำได้โดยวัดค่าอุณหภูมิของวัตถุด้วยกล้องถ่ายภาพความร้อน (Thermal Imager, TI) หรือด้วย IR sensor (ความยาวคลื่น 8-14 μm) โดยควบคุมอุณหภูมิที่ผิวของวัตถุให้คงที่ด้วยตู้ควบคุมอุณหภูมิ ปรับอุณหภูมิที่วัดได้จากกล้อง TI หรือ IR sensor ให้เท่ากับอุณหภูมิที่วัดได้จากเทอร์โมคัปเปิล ซึ่งเป็นอุณหภูมิที่แท้จริงของวัตถุ จะได้ค่า ϵ ที่แท้จริงของวัตถุ ผลการทดลองวัดค่า ϵ ของวัสดุทางอาหารในกระบวนการอบขนมปัง เริ่มจากโคลนกляยเป็นขนมปัง โดยแบ่งช่วงการศึกษาค่า ϵ ออกเป็น 3 ช่วงตามอุณหภูมิที่กึ่งกลางขนมปัง ดังนี้ ช่วงที่ 1 อุณหภูมิกึ่งกลางและที่ผิวเท่ากับ 25°C–40°C และ 40°C–90°C ตามลำดับค่า ϵ เท่ากับ 0.950 ช่วงที่ 2 อุณหภูมิที่กึ่งกลางและที่ผิวเท่ากับ 40°C–60°C และ 90°C–100°C ตามลำดับ ค่า ϵ ประมาณ 0.950 (เท่ากับช่วงที่ 1) และ ช่วงที่ 3 อุณหภูมิที่กึ่งกลางและที่ผิวเท่ากับ 60°C–98°C และ 100°C–120°C ได้ค่า ϵ อยู่ในช่วง 0.81–0.95 โดยในระหว่างการอบขนมปังด้วยอุณหภูมิเตาอบคงที่และไม่คงที่ ค่า ϵ ของขนมปังมีค่าใกล้เคียงกัน เนื่องจากค่า ϵ ขึ้นอยู่กับอุณหภูมิที่ผิวเป็นหลัก

Abstract

The objective of this research is to propose the application of infrared radiation properties (Emissivity, ϵ) of object in the food industry. Emissivity value was obtained by measuring a surface temperature of the target object using Thermal Image Camera (TI) or IR Sensor (wavelength between 8-14 μm) and a thermocouple. Bread baking process was selected to be the case study. The baking process was divided into the following 3 stages: stage 1: the center temperature of bread was 25°C–40°C which caused to the surface temperature was 40°C–90°C and ϵ value was 0.95, stage 2: the center temperature was 40°C–60°C which caused to the surface temperature was 90°C–100°C and ϵ value was 0.95, and stage 3: the center temperature was 60°C–98°C which caused to the surface temperature was 100°C–120°C and ϵ value was in the range of 0.81–0.95. Both baking conditions with constant and non-constant oven temperature were not effect to the ϵ values because they mainly depended on the surface temperature.

สารบัญ

	หน้า
กิตติกรรมประกาศ	II
บทคัดย่อภาษาไทย	III
บทคัดย่อภาษาอังกฤษ	IV
รูปภาพผลงานวิจัย	V
สารบัญเรื่อง	VI
สารบัญตาราง	VIII
สารบัญภาพ	IX
บทที่ 1 บทนำ	1
1.1 ความสำคัญและที่มาของปัญหา	1
1.2 วัตถุประสงค์	2
1.3 ขอบเขตการศึกษา	2
1.4 ประโยชน์ที่คาดว่าจะได้รับ	2
บทที่ 2 ตรวจเอกสาร	3
2.1 การแฝงรังสีอินฟราเรด	3
2.2 รังสีที่แฝงออกจากพื้นผิววัตถุ	5
2.3 การแยกเปลี่ยนความร้อนระหว่างพื้นผิว	7
2.4 เปรียบเทียบการแฝงรังสีจากวัตถุจริงและวัตถุค่า	8
2.5 กระบวนการเกิดขั้นปั้ง	9
2.5.1 ส่วนประกอบพื้นฐานของขั้นปั้ง	9
2.5.2 ปรากฏการณ์และการเปลี่ยนแปลงในระหว่างกระบวนการอบ	9
2.6 งานวิจัยที่เกี่ยวข้อง	11
2.6.1 งานวิจัยที่เกี่ยวข้องกับการอบขนมปัง	11
2.6.2 การเฝ้าระวังและการตรวจสอบอุณหภูมิของอาหาร	14
บทที่ 3 วัสดุ อุปกรณ์และวิธีการทดลอง	15
3.1 วัสดุทดลองและอุปกรณ์วัดอุณหภูมิ	15
3.2 การทดสอบการอบขนมปัง	16
3.2.1 การเตรียมโอด	16
3.2.2 การเตรียมเตาอบ	16
3.2.3 การวัดค่าต่างๆ	19

สารบัญ (ต่อ)

	หน้า
3.3 การทดสอบการอบขนมปังด้วยการควบคุมอุณหภูมิที่ผิว	20
3.3.1 การวัด Emissivity ของขนมปังโดยใช้ IR sensor	20
3.3.2 การทดสอบกระบวนการการอบขนมปังโดยใช้ IR sensor ควบคุมอุณหภูมิที่ผิว	21
บทที่ 4 ผลการทดลองและวิจารณ์ผลการทดลอง	23
4.1 ค่า Emissivity ของขนมปังในระหว่างการอบ	23
4.2 การทดสอบการอบขนมปัง	24
4.2.1 คุณลักษณะของเตาอบ: ชีสเดอร์รีซีสการตัดต่ออุณหภูมิกายในเตาอบ	24
4.2.2 คุณลักษณะของเตาอบ: ความเร็วลมกายในเตาอบ	25
4.2.3 คุณลักษณะของเตาอบ: การกระจายอุณหภูมิกายในเตาอบ	27
4.2.4 การปรับอุณหภูมิอากาศภายในเตาอบในระหว่างการอบขนมปัง	28
4.3 ความสัมพันธ์ระหว่างอุณหภูมิที่ผิวกับอุณหภูมิกึ่งกลางขนมปัง ในระหว่างการอบ	34
4.4 การทดสอบการอบขนมปังด้วยการควบคุมอุณหภูมิที่ผิวโดยใช้ IR Sensor	36
บทที่ 5 สรุปผลการทดลองและข้อเสนอแนะ	38
5.1 สรุปผลการทดลอง	38
5.2 ข้อเสนอแนะ	38
บรรณานุกรม	40
ภาคผนวก คุณลักษณะของ IR Sensor	42

สารบัญตาราง

ตารางที่	หน้า
2.1 ค่า Emissivity ของพื้นผิวสีดูบงชนิด	5
4.1 ค่า Emissivity ของขนนปังเมื่อใช้ IR Sensor ในการวัดค่า	24
4.2 ความเร็วเฉลี่ย (m/s) ของลมภายในเตาอบที่แฉวและตำแหน่งต่างๆ	26
4.3 ค่าการสูญเสียหนักของขนนปังหลังการอบ เมื่ออุณหภูมิในช่วงที่ 2 มีค่าแตกต่างกัน	30
4.4 ค่าการสูญเสียน้ำหนักของขนนปังหลังการอบ เมื่ออุณหภูมิในช่วงที่ 3 มีค่าแตกต่างกัน	32
4.5 สมการความสัมพันธ์ระหว่างอุณหภูมิที่ผิวและที่กึ่งกลางขนนปัง ² และค่าร้อยละความเชื่อมั่น (R^2) ของสมการในช่วงอุณหภูมิต่างๆ	34

สารบัญรูปภาพ

รูปที่	หน้า
2.1 การถ่ายเทพลังงานคลื่นแม่เหล็กไฟฟ้าของวัตถุ	6
2.2 รังสีอินฟราเรดทั้งหมดที่แผ่ออกจากพื้นผิววัตถุจริง	7
2.3 การแยกเปลี่ยนรังสีระหว่างวัตถุ 2 วัตถุ	8
2.4 การถ่ายเทความร้อนสู่ขนมปังในระหว่างการอบ	11
2.5 กราฟแสดงการเปลี่ยนแปลงอุณหภูมิที่ผิวขนมปังเปรียบเทียบกับอุณหภูมิกึ่งกลางขนมปังใน zone ที่ 1 2 3 และ 4	13
2.6 กราฟแสดงการเกิด gelatinization ของขนมปังเปรียบเทียบระหว่างการอบภายใต้เงื่อนไขเดิมและเงื่อนไขที่มีการปรับลดอุณหภูมิในบางช่วงของการอบ	13
3.1 ขนมปังในระหว่างการอบ	15
3.2 กล้องถ่ายภาพความร้อน รุ่น TI 32	15
3.3 เทอร์โมคัปเปิลแบบสัมผัส Type K และเทอร์โมมิเตอร์ Fluke รุ่น 52 II 2 Channel	16
3.4 เตาอบไฟฟ้าที่ใช้ในการทดลองอบขนมปัง	17
3.5 ตำแหน่งการเสียบสายเทอร์โมคัปเปิลเพื่อวัดการเปลี่ยนแปลงของอุณหภูมิอากาศในเตาอบ	17
3.6 ตำแหน่งการวัดความเร็วลมร้อนภายในเตาอบบริเวณหน้าอุ่น	18
3.7 ตำแหน่งการวางถ้วยสแตนเลสน้ำเปล่า เพื่อทำการกระจายอุณหภูมิภายในเตาอบ	18
3.8 IR Sensor ที่ใช้ในการทดลอง และการติดตั้ง IR Sensor ไว้ที่ด้านบนเตาอบขนาดเล็ก	20
3.9 ระบบการทดสอบการอบขนมปังด้วยการควบคุมอุณหภูมิที่ผิวโดยใช้ IR Sensor	21
3.10 แผนผังแสดงการทดสอบการอบขนมปังโดยการควบคุมอุณหภูมิที่ผิวด้วย IR Sensor	22
4.1 ลักษณะขนมปังระหว่างการอบเมื่ออุณหภูมิที่กึ่งกลางขนมปังมีค่าตั้งแต่เริ่มต้น 40°C 60°C 98°C และภายหลังการคงอุณหภูมิภายในเตาอบ	
ไว้ 10 นาที (ลิ้นสุดกระบวนการอบ)	23
4.2 ตัวอย่างภาพถ่ายทางความร้อนของขนมปังในระหว่างการอบ	24
4.3 การเปลี่ยนแปลงอุณหภูมิอากาศภายในเตาอบเมื่อตั้งค่าอุณหภูมิเตาอบไว้ที่ 210°C	25
4.4 กราฟแสดงค่าความเร็วลมในแต่ละตำแหน่งของเตาอบ ได้แก่ กลาง และแหล่ง	26
4.5 ตำแหน่งการวัดความเร็วลมร้อนภายในเตาอบบริเวณหน้าอุ่น และค่าความเร็วลมที่ตำแหน่งต่างๆ หน้าอุ่น	27

สารบัญรูปภาพ (ต่อ)

รูปที่	หน้า
4.6 กราฟแสดงการกระจายอุณหภูมิภายในเตาอบ	27
4.7 กราฟแสดงการเปลี่ยนแปลงของอุณหภูมิอากาศในเตาอบ (Tair) อุณหภูมิที่ผิวนมปั่ง (Tsurface) และอุณหภูมิที่กึ่งกลางขนมปัง (Tcenter) ที่อุณหภูมิอากาศในช่วงที่ 1 เป็น 180 °C และ 210°C	29
4.8 ผิวภายในของขนมปัง เมื่อให้อุณหภูมิอากาศในช่วงที่ 2 เป็น 90°C 100°C 110°C โดยอุณหภูมิในช่วงที่ 1 และ 2 เป็น 180°C และ 170°C	30
4.9 ผิวด้านนอกของขนมปัง เมื่อให้อุณหภูมิอากาศในช่วงที่ 3 เป็น 170°C 180°C 190°C โดยอุณหภูมิในช่วงที่ 1 และ 2 เป็น 180°C และ 120°C	31
4.10 กราฟแสดงการเปลี่ยนแปลงของอุณหภูมิอากาศในเตาอบ (Tair) อุณหภูมิที่ผิวนมปั่ง (Tsurface) และอุณหภูมิที่กึ่งกลางขนมปัง (Tcenter) เมื่อให้อุณหภูมิของอากาศภายในเตาคงที่ที่ 180°C	32
4.11 การเปลี่ยนแปลงอุณหภูมิของอากาศภายในเตาอบ (Tair) อุณหภูมิที่ผิว (Tsurface) และอุณหภูมิที่กึ่งกลางขนมปัง (Tcenter) เมื่อมีการเปลี่ยนแปลง ของอุณหภูมิอากาศในช่วงที่ 2 และ 3 จาก 180°C เป็น 120°C และ 170°C ตามลำดับ	33
4.12 เปรียบเทียบการเปลี่ยนแปลงอุณหภูมิของอากาศภายในเตาอบ (Tair) อุณหภูมิที่ผิว (Tsurface) และอุณหภูมิที่กึ่งกลางขนมปัง (Tcenter) เมื่อให้อุณหภูมิ อากาศคงที่ที่ 170°C และเมื่อมีการเปลี่ยนแปลงของอุณหภูมิอากาศในช่วงที่ 1 2 และ 3 เป็น 180°C 120°C และ 170°C	33
4.13 ความสัมพันธ์ระหว่างอุณหภูมิที่ผิวกับอุณหภูมิที่กึ่งกลางขนมปัง ในช่วงที่ 1 เมื่ออุณหภูมิกึ่งกลางเริ่มต้นจนถึง 40 °C	34
4.14 ความสัมพันธ์ระหว่างอุณหภูมิที่ผิวกับอุณหภูมิที่กึ่งกลางขนมปัง ในช่วงที่ 2 เมื่ออุณหภูมิกึ่งกลางมีค่า 40–60°C	35
4.15 ความสัมพันธ์ระหว่างอุณหภูมิที่ผิวกับอุณหภูมิที่กึ่งกลางขนมปัง ในช่วงที่ 3 เมื่ออุณหภูมิกึ่งกลางมีค่า 60–98°C	35